

УДК 534.3+611.539

СПРОЩЕНА ФОРМА РОЗВ'ЯЗКУ ЗАДАЧІ ПРО ГЕНЕРАЦІЮ ЗВУКУ ОБМЕЖЕНОЮ ОБЛАСТЮ ЗБУРЕНОЇ ТЕЧІЇ В ЖОРСТКОСТІННОМУ КАНАЛІ

А. О. БОРИСЮК

Інститут гідромеханіки НАН України, Київ

Отримано 26.09.2008

Наведено розв'язок задачі про генерацію звуку обмеженою областю збуреної течії у нескінченному прямому жорсткостінному каналі кругового поперечного перерізу у формі, яка відрізняється від одержаної у праці [1]. Ця форма простіша від попередньої, а отже більш прийнятна для проведення чисельних розрахунків.

Приведено решение задачи о генерации звука ограниченной областью возмущенного течения в бесконечном прямом жесткостенном канале кругового поперечного сечения в форме, отличной от полученной в работе [1]. Эта форма более проста по сравнению с предыдущей, а потому более приемлема для проведения численных расчетов.

We present the solution of the problem on sound generation by a limited region of a disturbed flow in an infinite straight rigid-walled channel with circular cross-section in the form different from that offered in the study [1]. This form is more simplified compared with the previous one, hence it is more suitable for numerical calculations.

ВСТУП

Дослідження течій у каналах – актуальна проблема автомобіле- та літакобудування, архітектури, медицини, нафтогазової промисловості, комунального господарства, тощо. При цьому значний інтерес становлять збурення течій і поява акустичних ефектів у місцях локальних звужень каналів (таких як налипання на стінках, зварювальні шви, стенози). Справа у тому, що у цьому випадку акустичне поле містить інформацію про параметри циліндричної конструкції й середовища у зоні виникнення шумів. Відтак, існує можливість розроблення неінвазивних методів знаходження таких місць за результатами аналізу згенерованого звуку [1–8].

Розроблення такого роду діагностичних методів може проводитися за наявності теорій, які, адекватно описуючи реологію, динаміку й акустику течій в околі локального звуження, встановлювали б кількісний зв'язок між характеристиками каналу й потоку та супутнього звукового поля. Одну з таких теорій було розроблено у праці [1]. Тут область збуреної течії моделювалася розподіленими в ній квадрупольними і дипольними джерелами звуку, характеристики яких вважались відомими. Були розглянуті випадки рівномірного й нерівномірного розподілу джерел. Для них були одержані відповідні кількісні співвідношення між характеристиками згенерованого у каналі акустичного поля й параметрами каналу і течії в ньому.

У статті [2] були розглянуті часткові випадки згаданої теорії. Досліджувались ситуації, коли в

акустичному полі домінує внесок об'ємних квадруполів або поверхневих диполів. При цьому інтерес становили такі потоки й форми локальних звужень каналів, при яких регіон збуреної за звуженням течії займають рівномірно розподілені великомасштабні або дрібномасштабні вихорові утворення.

У цьому дослідженні буде наведено іншу форму розв'язку проблеми, розглянутої в публікації [1]. Вона значно простіша від одержаної раніше, а отже більш прийнятна для проведення відповідних чисельних розрахунків.

Ця стаття складається зі вступу, двох розділів, висновку, списку літератури й додатку. У першому розділі формулюється задача, а також наводиться і коротко аналізується одержаний в [1] її розв'язок. У другому розділі одержується інша форма розв'язку і проводиться її порівняльний аналіз з попередньою формою. Далі формулюється висновок даної роботи й наводяться списки цитованої літератури та прийнятих позначень.

1. ПОСТАНОВКА ТА РОЗВ'ЯЗОК ЗАДАЧІ

Розглядається нерухомий нескінченний прямий жорсткостінний канал кругового поперечного перерізу з радіусом a (див. рисунок). У ньому з осередненою осью швидкістю U тече рідина, яка має масову густину ρ й кінематичну в'язкість ν . Течія характеризується малим числом Маха. У скінченному регіоні V_0 течія збурена і тут генерується акустичне поле. Необхідно знайти це поле й установити кількісний зв'язок між його характе-

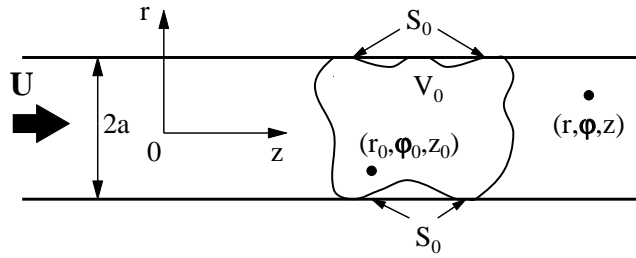


Рисунок. Геометрія задачі

ристиками й параметрами каналу і потоку.

Шукане акустичне поле описується рівнянням Лайтхіла, в якому права частина містить як об'ємні квадрупольні $\partial^2 T_{ij} / \partial y_i \partial y_j$, так і зумовлені наявністю стінки каналу поверхневі дипольні джерела $\partial F_i / \partial y_i$ [1, 2, 9, 10]:

$$\frac{\partial^2 \rho_a}{\partial t^2} - c_0^2 \nabla^2 \rho_a = \frac{\partial^2 T_{ij}}{\partial y_i \partial y_j} + \frac{\partial F_i}{\partial y_i}, \quad (1)$$

$$0 < r < a, \quad 0 < \phi < 2\pi, \quad |z| < \infty.$$

У якості граничних умов виступають рівність нулевій радіальної компоненти швидкості на стінці:

$$\left. \frac{\partial p_a}{\partial r} \right|_{r=a} = 0 \quad (2)$$

й умова випромінювання в нескінченність.

У співвідношеннях (1) і (2) введено такі позначення: ρ_a і p_a – акустичні флуктуації густини й тиску, які зв'язані між собою співвідношеннями [1, 2, 9, 10]:

$$p_a = c_0^2 \rho_a; \quad (3)$$

$T_{ij} \approx \rho u_i u_j$ і $F_i = n_j (\tau_{ij} + p \delta_{ij})$ – напруження Лайтхіла та i -та компонента прикладених до стінки каналу сил (T_{ij} та F_i зникають відповідно за межами об'єму збуреної течії V_0 й поверхні S_0 , котра його обмежує); τ_{ij} – в'язкі напруження; ϵ_{ij} – швидкості деформації:

$$\tau_{ij} = \frac{2}{3} \mu \epsilon_{kk} \delta_{ij} - 2 \mu \epsilon_{ij};$$

$$\epsilon_{ij} = \frac{1}{2} (\partial u_i / \partial y_j + \partial u_j / \partial y_i);$$

n_j – j -та компонента зовнішньої нормалі до стінки каналу; u_i – i -та компонента швидкості рідини; p – тиск; $\mu = \rho \nu$ – динамічна в'язкість рідини; δ_{ij} – символ Кронекера; r, ϕ, z – циліндричні координати; t – час. Окрім цього, тут і надалі передбачається підсумовування по індексах, що повторюються.

Задача (1), (2) розв'язується методом функцій Гріна. Її розв'язок у квадратурах для густини ρ_a має такий вигляд [1]:

$$\begin{aligned} \rho_a(\vec{r}, t) = & \int_{-\infty}^{\infty} dt_0 \iiint_{V_0} \frac{\partial^2 T_{ij}(\vec{r}_0, t_0)}{\partial y_i \partial y_j} \times \\ & \times G(\vec{r}, t; \vec{r}_0, t_0) dV_0(\vec{r}_0) + \\ & + \int_{-\infty}^{\infty} dt_0 \iint_{S_0} \frac{\partial F_i(\vec{r}_{0a}, t_0)}{\partial y_i} \times \\ & \times G(\vec{r}, t; \vec{r}_{0a}, t_0) dS_0(\vec{r}_{0a}), \end{aligned} \quad (4)$$

$$dV_0(\vec{r}_0) = r_0 dr_0 d\phi_0 dz_0,$$

$$dS_0(\vec{r}_{0a}) = a d\phi_0 dz_0.$$

Тут G – функція Гріна хвильового рівняння для вибраного каналу; $\vec{r} = (r, \phi, z)$, $\vec{r}_0 = (r_0, \phi_0, z_0) \in V_0$ і $\vec{r}_{0a} = \vec{r}_0|_{r_0=a} = (a, \phi_0, z_0) \in S_0$ – радіус-вектори відповідно точки поля для квадрупольних і дипольних джерел звуку; t_0 – пов'язаний з джерелом час. Акустичний же тиск p_a знаходиться за формулами (3) і (4).

Підстановка функції G [1],

$$\begin{aligned} G(\vec{r}, t; \vec{r}_0, t_0) = & \\ = & -\frac{i}{4\pi c_0^2} \sum_{j=1}^2 \sum_{n=0}^{\infty} \sum_{m=1}^{\infty} \frac{\Psi_{nm}^{(j)}(r_0, \phi_0)}{\|\Psi_{nm}^{(j)}\|^2} \times \\ & \times \Psi_{nm}^{(j)}(r, \phi) \int_{-\infty}^{\infty} \frac{e^{ik_{nm}|z-z_0|}}{k_{nm}} e^{-i\omega(t-t_0)} d\omega, \end{aligned} \quad (5)$$

у вираз для тиску p_a , а одержаного співвідношення в інтеграл

$$\begin{aligned} P(\omega) \delta(\omega - \omega') = & \int_0^a \int_0^{2\pi} \langle \tilde{p}_a^*(r, \phi, z, \omega) \times \\ & \times \tilde{v}_{az}(r, \phi, z, \omega') \rangle r dr d\phi \end{aligned} \quad (6)$$

дає загальний вираз для акустичної енергії P , згерованої на частоті ω нерівномірно розподілені в об'ємі V_0 квадрупольними і на поверхні S_0 дипольними джерелами [1]:

$$\begin{aligned}
P(\omega) &= \sum_{q=1}^2 \sum_{n=0}^{\infty} \sum_{m=1}^{\infty} P_{nm}^{(q)}(\omega) = \\
&= \sum_{q=1}^2 \sum_{n=0}^{\infty} \sum_{m=1}^{\infty} \frac{1}{4\|\Psi_{nm}^{(q)}\|^2 k_{nm} \rho_0 \omega} \times \\
&\times \left[\iiint_{V_0} dV_0(\vec{r}_0) \times \right. \\
&\times \iiint_{V_0} \frac{\partial^4 S_{ijkl}^T(\vec{r}_0, \vec{r}'_0, \omega)}{\partial y_i \partial y_j \partial y'_k \partial y'_l} \times \\
&\times \Psi_{nm}^{(q)}(r_0, \phi_0) \Psi_{nm}^{(q)}(r'_0, \phi'_0) \times \\
&\times e^{-\text{sign}(z-z_0)ik_{nm}(z'_0-z_0)} dV_0(\vec{r}'_0) + \\
&+ \iint_{S_0} dS_0(\vec{r}_{0a}) \iint_{S_0} \frac{\partial^2 S_{ik}^F(\vec{r}_{0a}, \vec{r}'_{0a}, \omega)}{\partial y_i \partial y'_k} \times \\
&\times \Psi_{nm}^{(q)}(a, \phi_0) \Psi_{nm}^{(q)}(a, \phi'_0) \times \\
&\times e^{-\text{sign}(z-z_0)ik_{nm}(z'_0-z_0)} dS_0(\vec{r}'_{0a}) + \\
&+ 2\text{Re} \left(\iiint_{V_0} dV_0(\vec{r}_0) \times \right. \\
&\times \iint_{S_0} \frac{\partial^3 S_{ijk}^{TF}(\vec{r}_0, \vec{r}'_{0a}, \omega)}{\partial y_i \partial y_j \partial y'_k} \times \\
&\times \Psi_{nm}^{(q)}(r_0, \phi_0) \Psi_{nm}^{(q)}(a, \phi'_0) \times \\
&\left. \times e^{-\text{sign}(z-z_0)ik_{nm}(z'_0-z_0)} dS_0(\vec{r}'_{0a}) \right) \Big].
\end{aligned} \tag{7}$$

Тут $\delta(\cdot)$ – дельта-функція Дірака; дужки $\langle \cdot \rangle$ означають операцію осереднення за множиною реалізацій; * вказує на комплексне спряження; \tilde{p}_a і \tilde{v}_{az} – образи Фур'є акустичного тиску та осьової компоненти акустичної швидкості; \vec{r}_0 , \vec{r}'_0 і \vec{r}_{0a} , \vec{r}'_{0a} – радіус-вектори відповідно квадрупольних і дипольних джерел звуку; акустичні моди каналу $\Psi_{nm}^{(q)}$ задаються як

$$\begin{aligned}
\Psi_{nm}^{(1)} &= J_n(\alpha_{nm}r) \cos(n\phi), \\
\Psi_{nm}^{(2)} &= J_n(\alpha_{nm}r) \sin(n\phi);
\end{aligned}$$

$\|\Psi_{nm}^{(q)}\|^2$ – квадрати їхніх норм:

$$\begin{aligned}
\|\Psi_{nm}^{(1)}\|^2 &= \begin{cases} \pi a^2 J_0^2(\alpha_{0m}a), & n=0, \\ \frac{\pi a^2}{2} J_n^2(\alpha_{nm}a) \left[1 - \left(\frac{n}{\alpha_{nm}a} \right)^2 \right]; & n \geq 1, \end{cases} \\
\|\Psi_{nm}^{(2)}\|^2 &= \begin{cases} 0, & n=0, \\ \|\Psi_{nm}^{(1)}\|^2, & n \geq 1; \end{cases}
\end{aligned}$$

J_n – циліндричні функції Бесселя першого порядку порядку n ; $\alpha_{nm} = \zeta_{nm}/a$ – радіальні хвильові числа; ζ_{nm} – корені рівняння $J'_n(\zeta_{nm}) = 0$, $m = 1, 2, \dots$; $k_{nm} = \sqrt{k_0^2 - \alpha_{nm}^2}$ – осьові хвильові числа; $k_0 = \omega/c_0$ – акустичне хвильове число; a – швидкість звуку в незбуреній рідині. Крім цього, у співвідношенні (7) функції S_{ijkl}^T і S_{ik}^F – взаємні спектри образів Фур'є відповідно напружень Лайтхіла T_{ij} і сил F_k , а S_{ijk}^{TF} – взаємний спектр образів Фур'є величин T_{ij} і F_k :

$$\begin{aligned}
S_{ijkl}^T(\vec{r}_0, \vec{r}'_0, \omega) \delta(\omega - \omega') &= \langle \tilde{T}_{ij}^*(\vec{r}_0, \omega) \tilde{T}_{kl}(\vec{r}'_0, \omega') \rangle, \\
S_{ik}^F(\vec{r}_{0a}, \vec{r}'_{0a}, \omega) \delta(\omega - \omega') &= \langle \tilde{F}_i^*(\vec{r}_{0a}, \omega) \tilde{F}_k(\vec{r}'_{0a}, \omega') \rangle, \\
S_{ijk}^{TF}(\vec{r}_0, \vec{r}'_{0a}, \omega) \delta(\omega - \omega') &= \langle \tilde{T}_{ij}^*(\vec{r}_0, \omega) \tilde{F}_k(\vec{r}'_{0a}, \omega') \rangle;
\end{aligned}$$

$\text{Re}(\cdot)$ означає дійсну частину вказаної в дужках комплексної величини. Функція знаку $\text{sign}(z-z_0)$ позитивна, якщо оцінки енергії проводяться вниз за течією від розташованих у поперечному перерізі каналу $z=z_0$ джерел, і негативною, – якщо вгору за течією від них. Положення частоти ω відносно критичних частот каналу $\omega_{nm} = c_0 \alpha_{nm}$ визначає (через хвильові числа k_{nm} в експоненті $\exp(-\text{sign}(z-z_0)ik_{nm}(z'_0-z_0))$) випадки однорідних ($\omega \geq \omega_{nm}$) та неоднорідних ($0 < \omega < \omega_{nm}$) хвиль у виразі (7).

У разі рівномірного розподілу квадрупольних і дипольних джерел звуку формула (7) спрощується за рахунок спрощення виразів для спектрів S_{ijkl}^T , S_{ik}^F та S_{ijk}^{TF} , які стають функціями лише відстані між джерелами (відповідно $\vec{\xi} = \vec{r}'_0 - \vec{r}_0$, $\vec{\xi}_{aa} = \vec{r}'_{0a} - \vec{r}_{0a}$ та $\vec{\xi}_a = \vec{r}'_{0a} - \vec{r}_0$) і частоти [1, 9]:

$$\begin{aligned}
S_{ijkl}^T(\vec{r}_0, \vec{r}'_0, \omega) &= S_{ijkl}^T(\vec{\xi}, \omega), \\
S_{ik}^F(\vec{r}_{0a}, \vec{r}'_{0a}, \omega) &= S_{ik}^F(\vec{\xi}_{aa}, \omega), \\
S_{ijk}^{TF}(\vec{r}_0, \vec{r}'_{0a}, \omega) &= S_{ijk}^{TF}(\vec{\xi}_a, \omega).
\end{aligned} \tag{8}$$

Аналіз співвідношення (7) показує, що енергія P дорівнює сумі енергій $P_{nm}^{(q)}$ акустичних мод каналу $\Psi_{nm}^{(q)}$. Енергія ж окремої моди $P_{nm}^{(q)}$ визначається трьома доданками. Перший з них являє собою

звукову енергію, згенеровану об'ємними квадрупольми $\partial^2 T_{ij} / \partial y_i \partial y_j$, другий – енергію, випромінєну поверхневими дипольми $\partial F_i / \partial y_i$, а третій – енергію, зумовлену взаємодією квадруполь і диполь.

2. ІНША ФОРМА РОЗВ'ЯЗКУ

Повернемося до інтегральної форми розв'язку задачі для акустичних флуктуацій густини (4). Згідно з [10], використання тотожності

$$\begin{aligned} \frac{\partial}{\partial y_i} \left(G \frac{\partial T_{ij}}{\partial y_j} \right) - \frac{\partial}{\partial y_j} \left(T_{ij} \frac{\partial G}{\partial y_i} \right) = \\ = G \frac{\partial^2 T_{ij}}{\partial y_i \partial y_j} - T_{ij} \frac{\partial^2 G}{\partial y_i \partial y_j} \end{aligned}$$

й подальше застосування теореми Гауса дозволяє замінити у формулі (4) диференціювання напружень Лайтхіла T_{ij} та сил F_i відповідним диференціюванням функції Гріна G :

$$\begin{aligned} \frac{\partial^2 T_{ij}}{\partial y_i \partial y_j} G &\longrightarrow T_{ij} \frac{\partial^2 G}{\partial y_i \partial y_j}, \\ \frac{\partial F_i}{\partial y_i} G &\longrightarrow F_i \frac{\partial G}{\partial y_i}. \end{aligned}$$

Це приводить до іншої форми представлення густини ρ_a (а отже і акустичного тиску p_a):

$$\begin{aligned} \rho_a(\vec{r}, t) = \int_{-\infty}^{\infty} dt_0 \iiint_{V_0} T_{ij}(\vec{r}_0, t_0) \times \\ \times \frac{\partial^2 G(\vec{r}, t; \vec{r}_0, t_0)}{\partial y_i \partial y_j} \times dV_0(\vec{r}_0) + \\ + \int_{-\infty}^{\infty} dt_0 \iint_{S_0} F_i(\vec{r}_{0a}, t_0) \times \\ \times \frac{\partial G(\vec{r}, t; \vec{r}_{0a}, t_0)}{\partial y_i} dS_0(\vec{r}_{0a}). \end{aligned} \quad (9)$$

У циліндричній системі координат підінтегральні функції у формулі (9) виглядають наступним чином [1]:

$$\begin{aligned} T_{ij} \frac{\partial^2 G}{\partial y_i \partial y_j} = \rho u_r^2 \frac{\partial^2 G}{\partial r_0^2} + \rho u_z^2 \frac{\partial^2 G}{\partial z_0^2} + 2\rho u_r u_z \frac{\partial^2 G}{\partial r_0 \partial z_0} + \\ + \rho u_\phi^2 \left(\frac{1}{r_0^2} \frac{\partial^2}{\partial \phi_0^2} + \frac{1}{r_0} \frac{\partial}{\partial r_0} \right) G + \\ + \rho u_r u_\phi \left(\frac{\partial}{\partial r_0} \left(\frac{1}{r_0} \frac{\partial}{\partial \phi_0} \right) + \frac{2}{r_0} \frac{\partial}{\partial \phi_0} \left(\frac{\partial}{\partial r_0} \right) - \right. \\ \left. - \frac{1}{r_0^2} \frac{\partial}{\partial \phi_0} \right) G + \\ + \rho u_\phi u_z \left(\frac{1}{r_0} \frac{\partial^2}{\partial \phi_0 \partial z_0} + \frac{\partial}{\partial z_0} \left(\frac{1}{r_0} \frac{\partial}{\partial \phi_0} \right) \right) G, \end{aligned}$$

$$F_i \frac{\partial G}{\partial y_i} = F_r \frac{1}{r_0} \frac{\partial(r_0 G)}{\partial r_0} + F_\phi \frac{1}{r_0} \frac{\partial G}{\partial \phi_0} + F_z \frac{\partial G}{\partial z_0}.$$

Тоді підстановка виразу (5) для функції Гріна G у формулу (9), формули (9) – у співвідношення (3), а одержаного співвідношення – в інтеграл (6) дозволяє знайти інший, ніж рівняння (7), вираз для акустичної енергії P . У разі нерівномірного розподілу квадрупольних і дипольних джерел звуку він має такий вигляд:

$$\begin{aligned} P(\omega) = \sum_{q=1}^2 \sum_{n=0}^{\infty} \sum_{m=1}^{\infty} P_{nm}^{(q)}(\omega) = \\ = \sum_{q=1}^2 \sum_{n=0}^{\infty} \sum_{m=1}^{\infty} \frac{1}{4} \|\Psi_{nm}^{(q)}\|^2 k_{nm} \rho_0 \omega \times \\ \times \left[\iiint_{V_0} dV_0(\vec{r}_0) \iiint_{V_0} S_{ijkl}^T(\vec{r}_0, \vec{r}'_0, \omega) \times \right. \\ \times \frac{\partial^2 \Psi_{nm}^{(q)}(r_0, \phi_0) e^{\text{sign}(z-z_0) i k_{nm} z_0}}{\partial y_i \partial y_j} \times \\ \times \frac{\partial^2 \Psi_{nm}^{(q)}(r'_0, \phi'_0) e^{-\text{sign}(z-z_0) i k_{nm} z'_0}}{\partial y'_k \partial y'_l} dV_0(\vec{r}'_0) + \\ \left. + \iint_{S_0} dS_0(\vec{r}_{0a}) \iint_{S_0} S_{ik}^F(\vec{r}_{0a}, \vec{r}'_{0a}, \omega) \times \right. \\ \times \frac{\partial \Psi_{nm}^{(q)}(a, \phi_0) e^{\text{sign}(z-z_0) i k_{nm} z_0}}{\partial y_i} \times \\ \times \frac{\partial \Psi_{nm}^{(q)}(a, \phi'_0) e^{-\text{sign}(z-z_0) i k_{nm} z'_0}}{\partial y'_k} dS_0(\vec{r}'_{0a}) + \\ \left. + 2\text{Re} \left(\iiint_{V_0} dV_0(\vec{r}_0) \iint_{S_0} S_{ijk}^{TF}(\vec{r}_0, \vec{r}'_{0a}, \omega) \times \right. \right. \\ \times \frac{\partial^2 \Psi_{nm}^{(q)}(r_0, \phi_0) e^{\text{sign}(z-z_0) i k_{nm} z_0}}{\partial y_i \partial y_j} \times \\ \left. \left. \times \frac{\partial \Psi_{nm}^{(q)}(a, \phi'_0) e^{-\text{sign}(z-z_0) i k_{nm} z'_0}}{\partial y'_k} dS_0(\vec{r}'_{0a}) \right) \right]. \end{aligned} \quad (10)$$

Якщо ж джерела звуку розподілені рівномірно в областях їх існування, співвідношення (10) спрощується внаслідок спрощення виразів для функцій S_{ijkl}^T , S_{ik}^F та S_{ijk}^{TF} .

Аналіз формули (10) показує, що, як і у виразі (7), звукова енергія P в каналі – це сума енергій $P_{nm}^{(q)}$ його акустичних мод $\Psi_{nm}^{(q)}$, а енергія окремої моди $P_{nm}^{(q)}$ визначається тими ж трьома доданками, зумовленими внесками квадруполь, диполь та їх взаємодією. Проте у формулі (10) ці доданки

мають інший вигляд: у них просторове диференціювання другого, третього й четвертого порядків спектрів S_{ik}^F , S_{ijk}^{TF} та S_{ijkl}^T (див. формулу (7)) замінено відповідним диференціюванням першого й другого порядків добуток мод $\Psi_{nm}^{(q)}$ і експонент:

$$\begin{aligned} & \frac{\partial^4 S_{ijkl}^T(\dots)}{\partial y_i \partial y_j \partial y'_k \partial y'_l} \Psi_{nm}^{(q)}(\dots) \Psi_{nm}^{(q)}(\dots) e^{\dots} \longrightarrow \\ & \longrightarrow S_{ijkl}^T(\dots) \frac{\partial^2 \Psi_{nm}^{(q)}(\dots) e^{\dots}}{\partial y_i \partial y_j} \frac{\partial^2 \Psi_{nm}^{(q)}(\dots) e^{\dots}}{\partial y'_k \partial y'_l}; \\ & \frac{\partial^2 S_{ik}^F(\dots)}{\partial y_i \partial y'_k} \Psi_{nm}^{(q)}(\dots) \Psi_{nm}^{(q)}(\dots) e^{\dots} \longrightarrow \\ & \longrightarrow S_{ik}^F(\dots) \frac{\partial \Psi_{nm}^{(q)}(\dots) e^{\dots}}{\partial y_i} \frac{\partial \Psi_{nm}^{(q)}(\dots) e^{\dots}}{\partial y'_k}; \\ & \frac{\partial^3 S_{ijk}^{TF}(\dots)}{\partial y_i \partial y_j \partial y'_k} \Psi_{nm}^{(q)}(\dots) \Psi_{nm}^{(q)}(\dots) e^{\dots} \longrightarrow \\ & \longrightarrow S_{ijk}^{TF}(\dots) \frac{\partial^2 \Psi_{nm}^{(q)}(\dots) e^{\dots}}{\partial y_i \partial y_j} \frac{\partial \Psi_{nm}^{(q)}(\dots) e^{\dots}}{\partial y'_k}. \end{aligned} \quad (11)$$

Моди $\Psi_{nm}^{(q)}$ й експоненти, а отже й просторові похідні від них – відомі функції. Тому знаходження значень функцій і похідних потребує приблизно однакових затрат машинного часу. Спектри ж S_{ik}^F , S_{ijk}^{TF} , S_{ijkl}^T не мають аналітичного представлення. Вони мають визначатися з розв'язку відповідної задачі динаміки рідини або з відповідного експерименту, що пов'язано зі значними труднощами і витратами часу. Ще більш трудомістким буде визначення відповідних похідних. Це означає, що обчислення виразів, які знаходяться у правих частинах співвідношень (11), простіше, ніж обчислення виразів зліва. Відповідно, з огляду на чисельні розрахунки, знаходження трьох спектральних доданків за формулою (10) буде простішим, аніж за формулою (7). Ця обставина додатково вказує на те, що вираз (10) для згенерованої на частоті ω акустичної енергії загалом більш прийнятний для проведення відповідних обчислень, ніж вираз (7).

ВИСНОВОК

Одержано іншу форму розв'язку розглянутої у праці [1] проблеми генерації звуку обмеженою областю збуреної течії в нерухомому нескінченному прямому жорсткостинному каналі кругового поперечного перерізу. Ця форма простіша від одержаної в [1], а отже більш прийнятна для проведення відповідних чисельних розрахунків.

ПОДЯКА

Автор висловлює подяку академіку НАН України В. Т. Грінченку за корисні поради, які дозволили покращити якість даної статті.

1. Борисюк А. О. Генерація звуку обмеженою областю збуреної течії в жорсткостинному каналі кругового поперечного перерізу. Частина 1. Загальна теорія // Акуст. вісн.– 2003.– 6, N 3.– С. 3–9.
2. Борисюк А. О. Генерація звуку обмеженою областю збуреної течії в жорсткостинному каналі кругового поперечного перерізу. Частина 2. Частинні випадки // Акуст. вісн.– 2004.– 7, N 4.– С. 10–20.
3. Lees R. S., Dewey C. F., jr. Phonoangiography: a new noninvasive diagnostic method for studying arterial disease // Proc. Nat. Acad. Sci.– 1970.– 67.– P. 935–942.
4. Young D. F. Fluid mechanics of arterial stenosis // J. Biomech. Eng.– 1979.– 101.– P. 157–175.
5. Мирюлюбов С. Г. Гидродинамика стеноза // Современ. пробл. биомех.– 1983.– 1.– С. 73–136.
6. Berger S. A., Jou L-D. Flows in stenotic vessels // Ann. Rev. Fluid Mech.– 2000.– 32.– P. 347–382.
7. Borisyuk A. O. Noise field in the human chest due to turbulent flow in a larger blood vessel // Flow, Turbul. Combust.– 1999.– 61.– P. 269–284.
8. Borisyuk A. O. Experimental study of noise produced by steady flow through a simulated vascular stenosis // J. Sound Vib.– 2002.– 256.– P. 475–498.
9. Blake W. K. (ed.) Mechanics of flow-induced sound and vibration: in 2 vols.– New York: Academic Press, 1986.– 974 p.
10. Голдстейн М. Е. Аэроакустика.– М.: Машиностроение, 1981.– 294 с.

ДОДАТОК. УМОВНІ ПОЗНАЧЕННЯ

a	– радіус поперечного перерізу каналу;
U	– осереднена осьова швидкість течії в каналі;
c_0	– швидкість звуку в незбуреній рідині;
ρ	– густина рідини;
ν	– кінематична в'язкість рідини;
μ	– динамічна в'язкість рідини;
p	– тиск;
T_{ij}	– напруження Лайтхіла;
F_i	– i -та компонента прикладених до стінки каналу сил;
τ_{ij}	– в'язкі напруження;
ϵ_{ij}	– швидкості деформації;
n_j	– j -та компонента зовнішньої нормалі до стінки каналу;
u_i	– i -та компонента швидкості рідини;
δ_{ij}	– символ Кронекера;
V_0	– об'єм збуреної течії;
S_0	– поверхня, що обмежує об'єм V_0 ;
$\delta(\cdot)$	– дельта-функція Дірака;
ρ_a	– акустичні флуктуації густини;

p_a	– акустичні флуктуації тиску;	S_{ik}^F	– взаємні спектри образів Фур'є сил F_k ;
$P(\omega)$	– акустична енергія на частоті ω ;	S_{ijk}^{TF}	– взаємний спектр образів Фур'є напружень Лайтхіла T_{ij} та сил F_k ;
$\Psi_{nm}^{(\nu)}$	– акустичні моди каналу ($\nu = 1, 2$);	$\frac{\partial^2 T_{ij}}{\partial y_i \partial y_j}$	– об'ємні квадруполі;
α_{nm}	– радіальні хвильові числа;	$\frac{\partial F_i}{\partial y_i}$	– поверхневі диполі.
k_{nm}	– осьові хвильові числа;		
k_0	– акустичне хвильове число;		
ω_{nm}	– критичні частоти каналу;		
S_{ijkl}^T	– взаємні спектри образів Фур'є напружень Лайтхіла;		